

4a micromec für die integrative Simulation faserverstärkter Kunststoffe

Bernhard Jilka, Peter Reithofer, Artur Fertschej

4a engineering GmbH, Traboch, Austria

Abstract

In the last years the demand on weight reduction in the automotive industry has led to a hype in requests for various composite applications. Due to the complexity of those usually highly anisotropic materials virtual product development is one of the key factors to understand the behaviour of parts and furthermore to ensure an efficient and robust product development. Fiber orientation, size and geometry have a significant influence on the part performance. Orthotropic properties increase with increasing fiber content while at the same time the dependency of the stress-strain curve on the strain rate decreases.

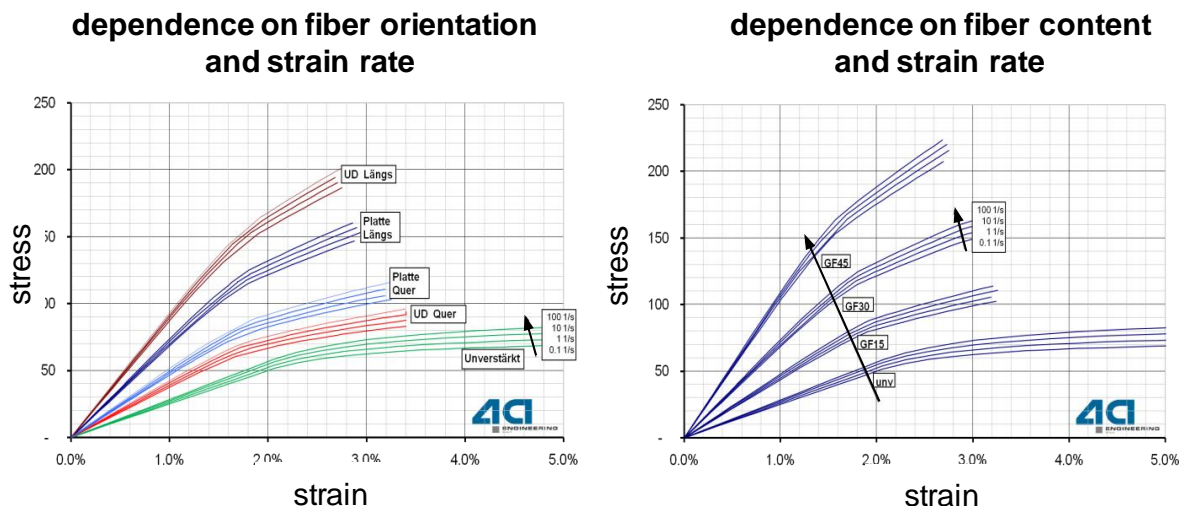


Fig. 1: typical material behaviour of SFRT depending on fiber content, fiber orientation and strain rate

Even if the current available material models in FE-Codes are not able to fulfil all requirements to describe the real material behaviour, these models can describe the main anisotropic influence of the fiber reinforcement. To determine the required model parameters normally a huge amount of specialised and expensive tests have to be conducted.

The usage of micro mechanic models support the parameter determination and it is possible to reduce the testing effort. **4a micromec** is a software based on the Mori-Tanaka mean field theory that allows us to simulate complete three-dimensional material properties for composites.

In the case of short and long fiber reinforced thermoplastics the anisotropic material properties depend on the manufacturing process. Due to the injection molding process and the geometry-dependent filling behavior of the resin the fibers are orientated. For an accurate simulation of structural parts this process chain has to be taken into account. Therefore the fiber orientation calculated in a the process simulation is used to determine the local anisotropic material properties and is mapped to a standard LS-DYNA material card.

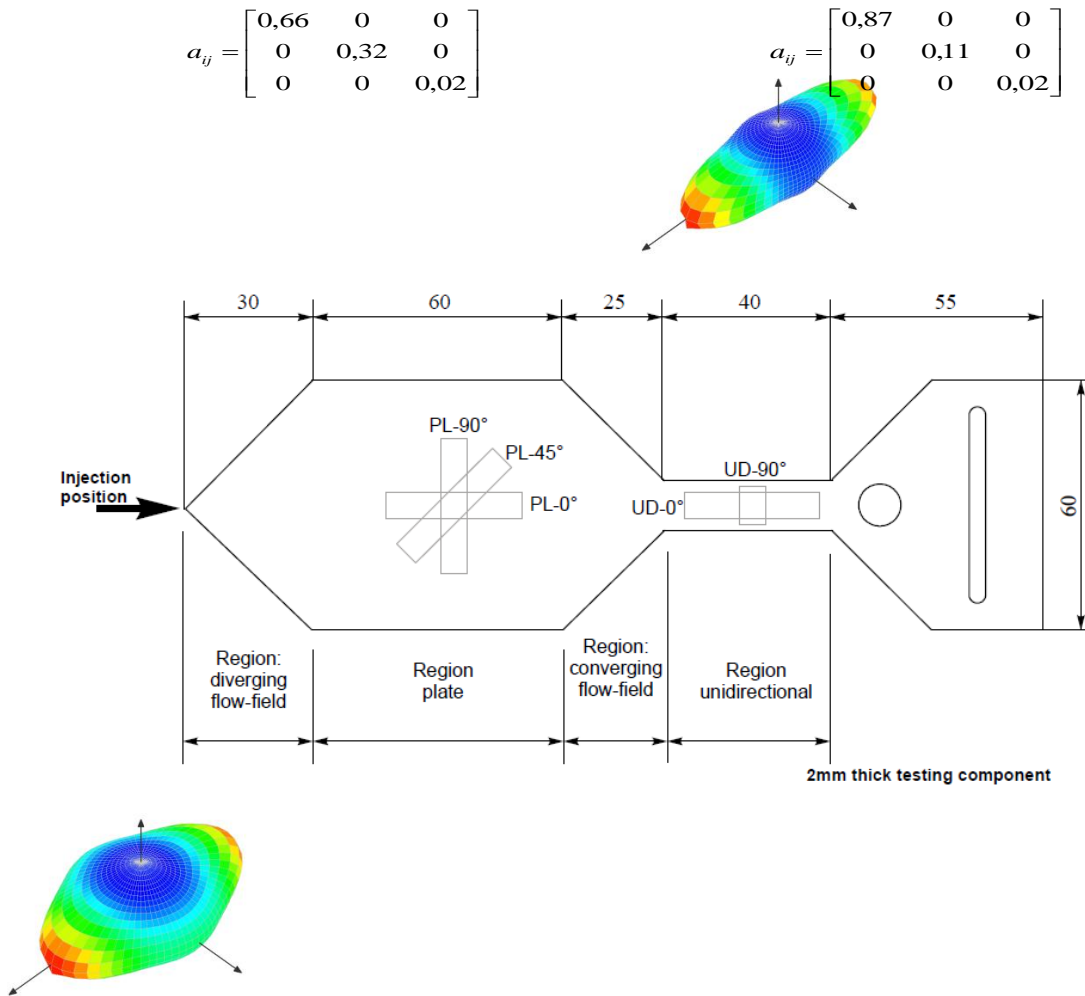


Fig. 2: experimental tool with different fiber orientation regions and their typical 3D anisotropic stiffness

As mentioned before the available LS-DYNA material models cannot describe the whole material behavior. Therefore a user defined material model based on the 4a micromec software routines, which can describe the orthotropic elastic orthotropic visco-plastic material behavior, was used in the structural simulation.

Finally we show in some case studies the use of the comprehensive simulation process and compare different material models to each other.

Keywords:

4a micromec, fiber orientation, short fiber reinforced polymers, user material, mapping



4a micromec für die integrative Simulation faserverstärkter Kunststoffe

A. Fertschej, B. Jilka, P. Reithofer (4a engineering GmbH)

11. LS-DYNA FORUM 2012

9. - 10. OKTOBER 2012, ULM



Seite: 1 / 25
 Autor: Peter Reithofer, Artur Fertschej, Bernhard Jilka
 Datum: 121009
 Titel: rep_12100902_pr_afef_bj1a_gga_INTEGRATIVESIMULATION.ppt

I N P H Y S I C S W E T R U S T

© 4a engineering GmbH, all rights reserved

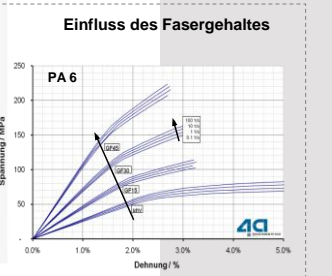
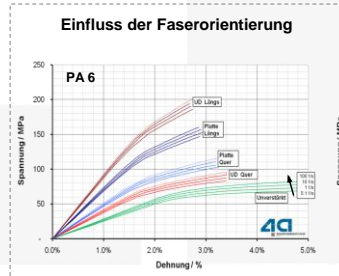
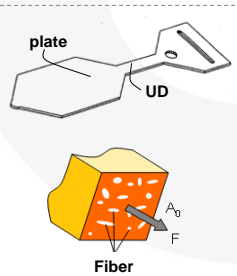
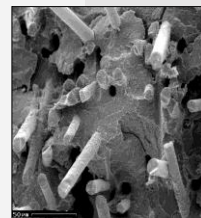
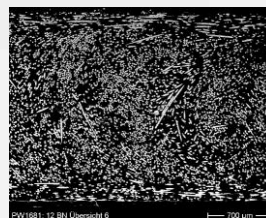
Werkstoffverhalten Einleitung



Wesentliche Einflussgrößen sind Fasergehalt und -form. Mit steigendem Fasergehalt steigt der Einfluss der Orthotropie und sinkt der anteilige matrixbedingte Einfluss der Dehnrage.

Werkstoffverhalten ist

- orthotrop
- viskoelastisch
- viskoplastisch




Seite: 2 / 25
 Autor: Peter Reithofer, Artur Fertschej, Bernhard Jilka
 Datum: 121009
 Titel: rep_12100902_pr_afef_bj1a_gga_INTEGRATIVESIMULATION.ppt

I N P H Y S I C S W E T R U S T

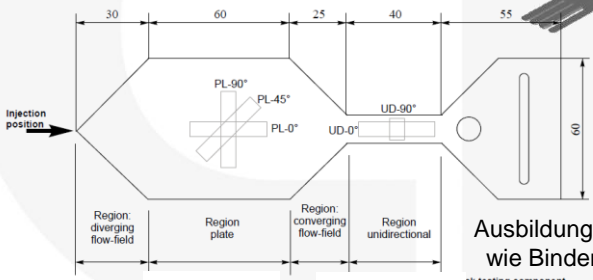
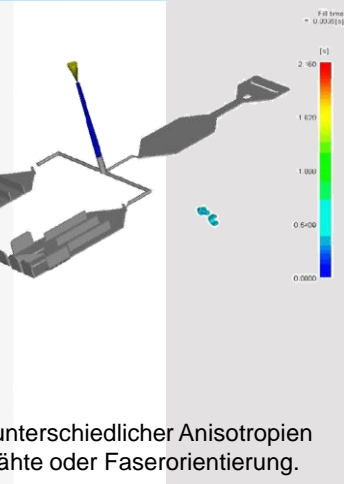
© 4a engineering GmbH, all rights reserved

Prozesssimulation Forschungsform

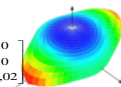


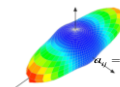
Spritzgussimulationen bieten die Möglichkeit den Herstellprozess hinsichtlich

- Füll-, Druck- und Temperaturverhalten
- Schwindung und Verzug
- Kühlung
- Anisotropie (Bindenähte und Faserorientierung) zu untersuchen.

Ausbildung unterschiedlicher Anisotropien wie Bindenähte oder Faserorientierung.

$$a_{ij} = \begin{bmatrix} 0,66 & 0 & 0 \\ 0 & 0,32 & 0 \\ 0 & 0 & 0,02 \end{bmatrix}$$


$$a_{ij} = \begin{bmatrix} 0,87 & 0 & 0 \\ 0 & 0,11 & 0 \\ 0 & 0 & 0,02 \end{bmatrix}$$



ck testing component

Seite: 3 / 25
Autor: Peter Reithofer, Artur Fertschaj, Bernhard Jilka
Datum: 121009
Titel: rep_12100902_pr_afar_b1a_gga_INTEGRATIVESIMULATION.ppt

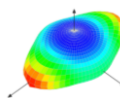
I N P H Y S I C S W E T R U S T

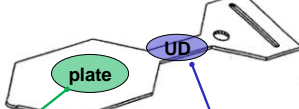
© 4a engineering GmbH, all rights reserved

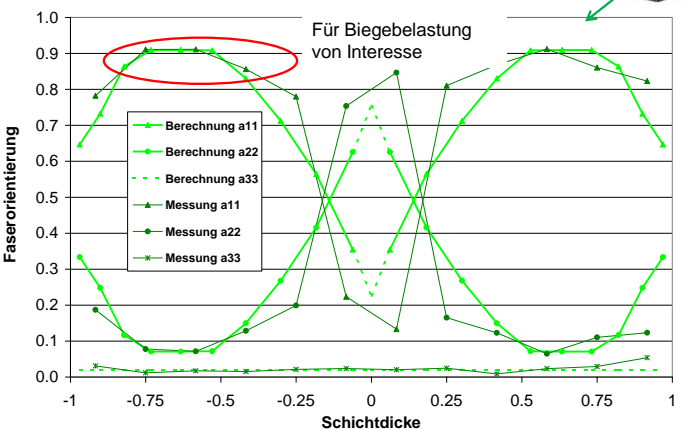
Prozesssimulation Faserorientierung in typischen Bereichen



Mittlere FO in Tensorform


$$a_{ij} = \begin{bmatrix} 0,66 & 0 & 0 \\ 0 & 0,32 & 0 \\ 0 & 0 & 0,02 \end{bmatrix}$$




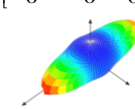


Für Biegebelastung von Interesse

Profil über der Dicke



Mittlere FO in Tensorform

$$a_{ij} = \begin{bmatrix} 0,87 & 0 & 0 \\ 0 & 0,11 & 0 \\ 0 & 0 & 0,02 \end{bmatrix}$$


Seite: 4 / 25
Autor: Peter Reithofer, Artur Fertschaj, Bernhard Jilka
Datum: 121009
Titel: rep_12100902_pr_afar_b1a_gga_INTEGRATIVESIMULATION.ppt

I N P H Y S I C S W E T R U S T

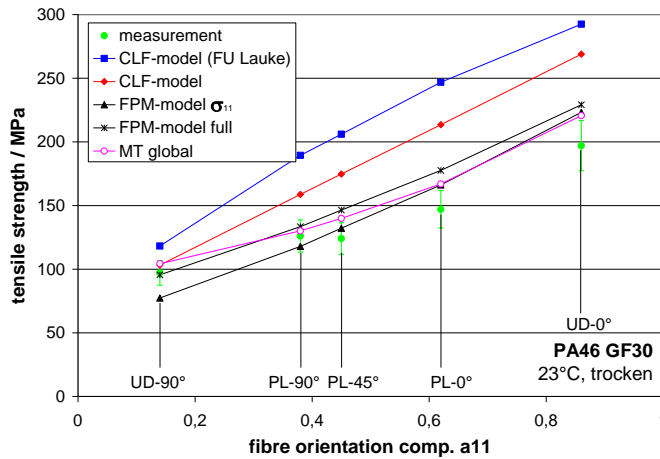
© 4a engineering GmbH, all rights reserved

Materialmodell / Mikromechanik

Versagensmodelle



Untersuchungen verschiedener Versagensmodelle (Paper PPS18)



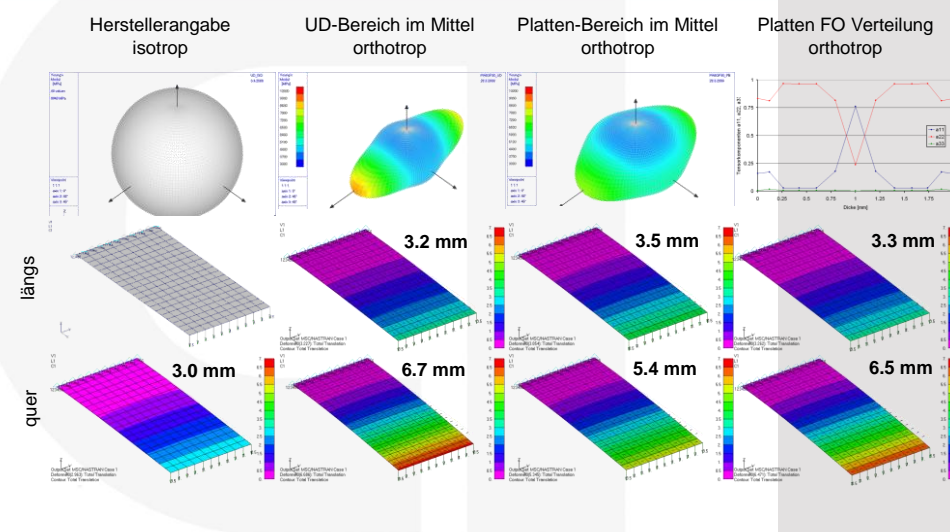
Seite: 7 / 25
 Autor: Peter Reithofer, Artur Fertschaj, Bernhard Jilka
 Datum: 121009
 Titel: rep_12100902_pr_afar_b1a_gga_INTEGRATIVESIMULATION.ppt

I N P H Y S I C S W E T R U S T

© 4a engineering GmbH, all rights reserved

Materialmodell / Mikromechanik

Vergleich Biegesteifigkeit einer Platte



Seite: 8 / 25
 Autor: Peter Reithofer, Artur Fertschaj, Bernhard Jilka
 Datum: 121009
 Titel: rep_12100902_pr_afar_b1a_gga_INTEGRATIVESIMULATION.ppt

I N P H Y S I C S W E T R U S T

© 4a engineering GmbH, all rights reserved

Integrative Simulation – 4a Fibermap Mapping

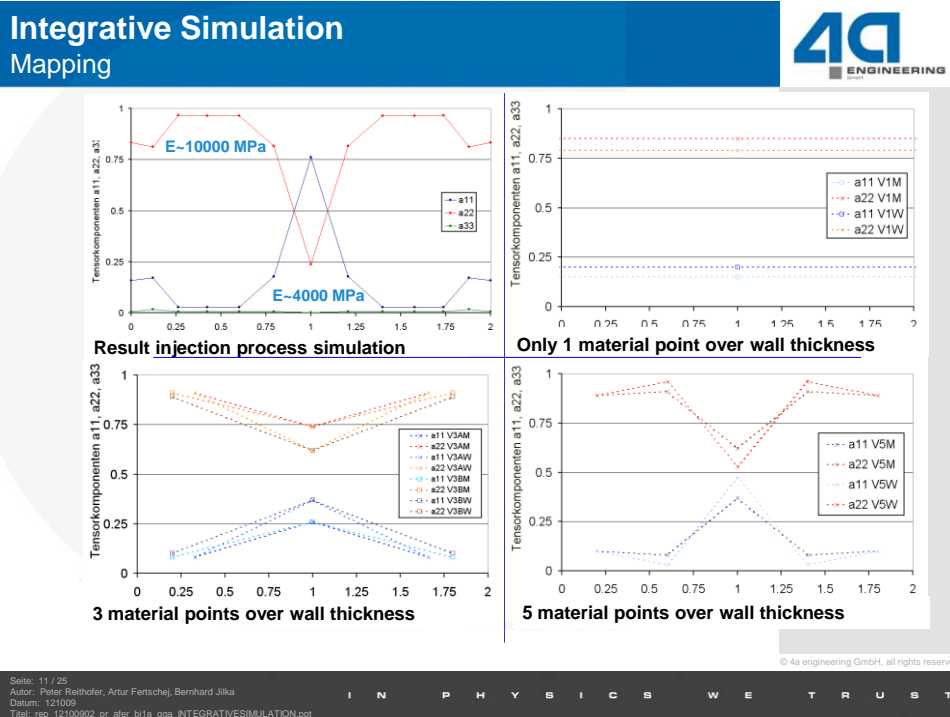


Integrative Simulation – 4a Fibermap Mapping



➤ Schnittstellen zu Moldflow und Moldex

- Ausgabe individuell einstellbar
 - Faserorientierung → Usermaterial
 - Inputdecks z.B. Nastran, LSDYNA



Seite: 11 / 25
 Autor: Peter Reithofer, Artur Fertschaj, Bernhard Jilka
 Datum: 121009
 Titel: rep_12100902_pr_afef_bj1a_gga_INTEGRATIVESIMULATION.ppt

I N P H Y S I C S W E T R U S T

Simulation Vorgehensweisen Struktursimulation

- **Ohne integrative Simulation**
 - isotrop elastisches Materialverhalten
 - Herstellerdaten (Extremwert)
 - Messdaten (Extremwerte, Mittelung)
- **Integrative Simulation - Schnittstellenthematik**
 - orthotrop elastisches Materialverhalten
 - Materialverhalten aus Prozesssimulation (Moldflow, Moldex,) einfache Mischungsansätze
 - Schnittstellen zu [Nastran](#), [Ansys](#), [Abaqus](#), [LS-DYNA](#)
 - Kaum Fitting zu Messdaten möglich
 - Steifigkeitsabbildung möglich, Versagenskriterien fehlen.
- **Komplexe integrative Simulation - USERMATERIAL**
 - Benutzerdefiniertes Material integriert in Solvern wie [Abaqus](#), [LS-DYNA](#), [Ansys](#), [Pam-Crash](#)
 - Faserorientierung aus der Prozesssimulation Basis für die Mikromechanik
 - Versagenskriterien möglich
 - Rechenzeit / Aufwand steigt

© 4a engineering GmbH, all rights reserved

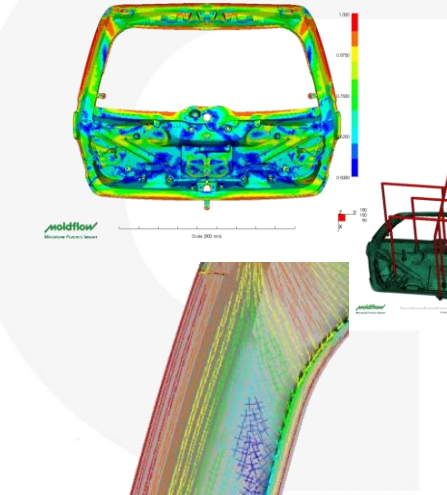
Seite: 12 / 25
 Autor: Peter Reithofer, Artur Fertschaj, Bernhard Jilka
 Datum: 121009
 Titel: rep_12100902_pr_afef_bj1a_gga_INTEGRATIVESIMULATION.ppt

I N P H Y S I C S W E T R U S T

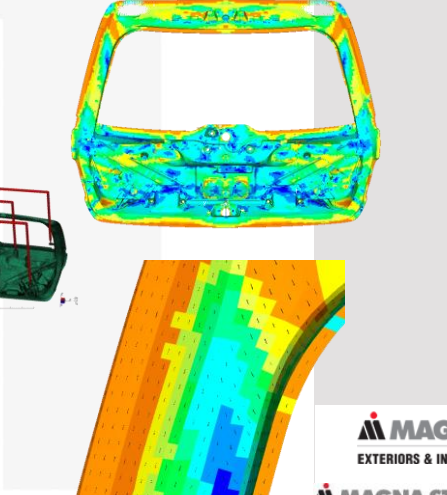
Integrative Simulation – Fallbeispiel Heckklappe


Mapping - Faserorientierung

Spritzgussimulation



gemapped in Struktursimulation





© 4a engineering GmbH, all rights reserved

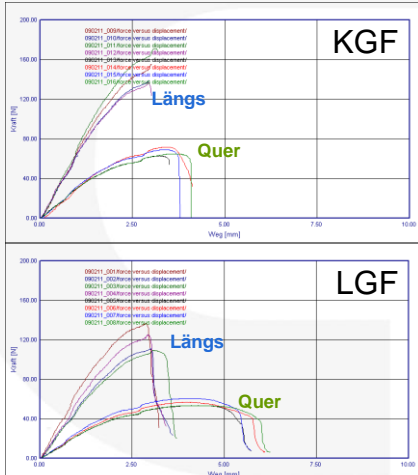
Seite: 13 / 25
 Autor: Peter Reithofer, Artur Fertschaj, Bernhard Jilka
 Datum: 121009
 Titel: rep_12100902_pr_afar_b1a_gga_INTEGRATIVESIMULATION.ppt

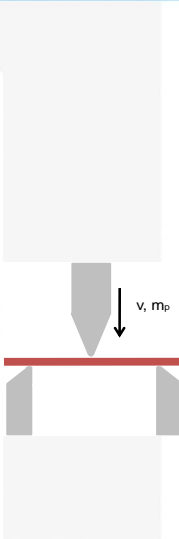
I N P H Y S I C S W E T R U S T

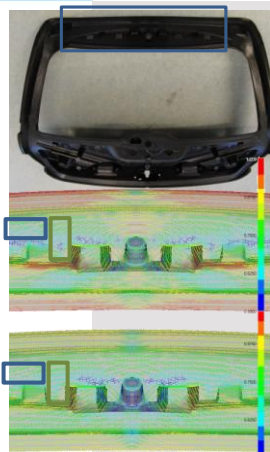
Integrative Simulation – Fallbeispiel Heckklappe


Materialcharakterisierung

3-Punkt-Biegeprüfung





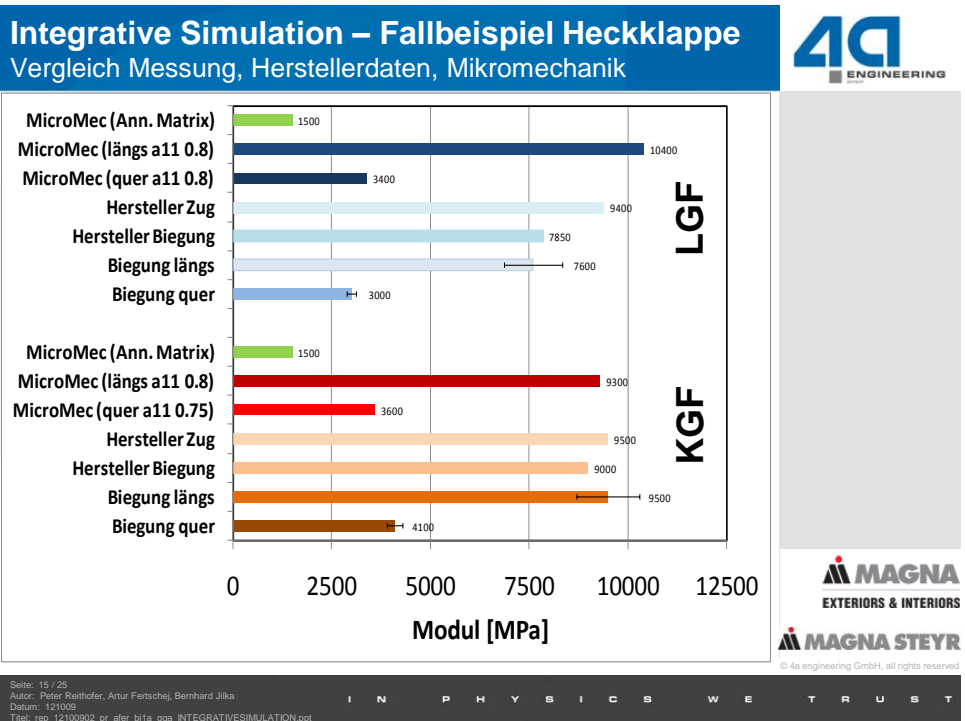




© 4a engineering GmbH, all rights reserved

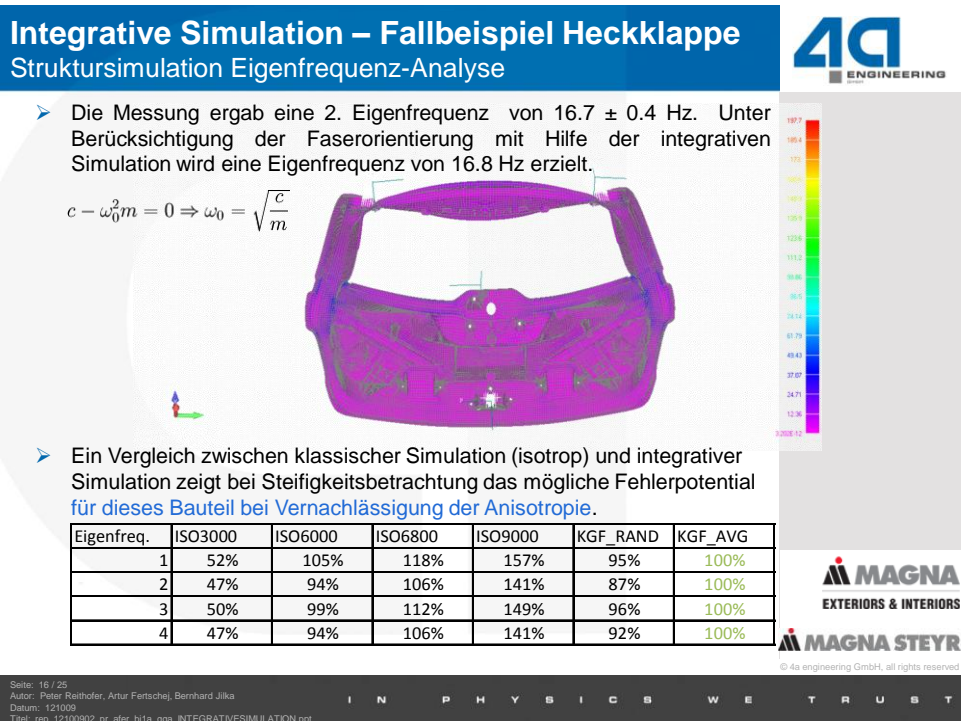
Seite: 14 / 25
 Autor: Peter Reithofer, Artur Fertschaj, Bernhard Jilka
 Datum: 121009
 Titel: rep_12100902_pr_afar_b1a_gga_INTEGRATIVESIMULATION.ppt

I N P H Y S I C S W E T R U S T



Seite: 15 / 25
 Autor: Peter Reithofer, Artur Fertschaj, Bernhard Jilka
 Datum: 121009
 Titel: rep_12100902_pr_afcr_b1a_gga_INTEGRATIVESIMULATION.ppt

I N P H Y S I C S W E T R U S T



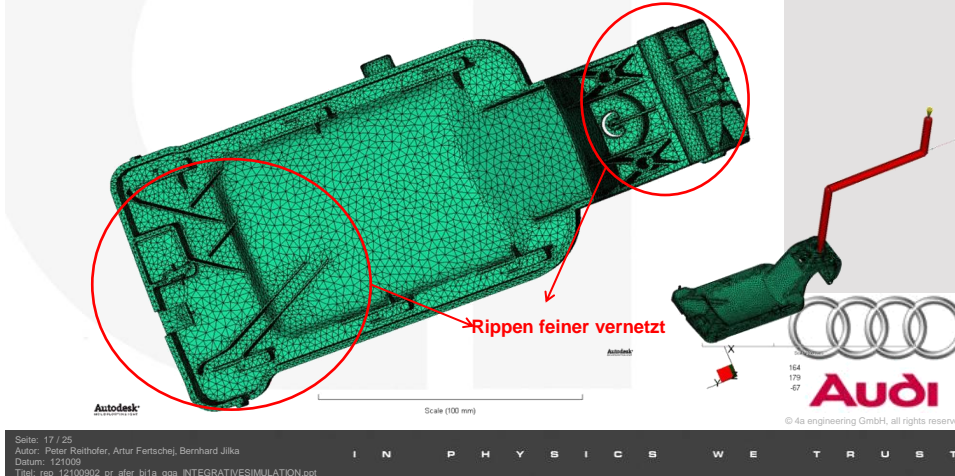
Seite: 16 / 25
 Autor: Peter Reithofer, Artur Fertschaj, Bernhard Jilka
 Datum: 121009
 Titel: rep_12100902_pr_afcr_b1a_gga_INTEGRATIVESIMULATION.ppt

I N P H Y S I C S W E T R U S T

Integrative Simulation – Fallbeispiel Tankklappe Modellaufbau



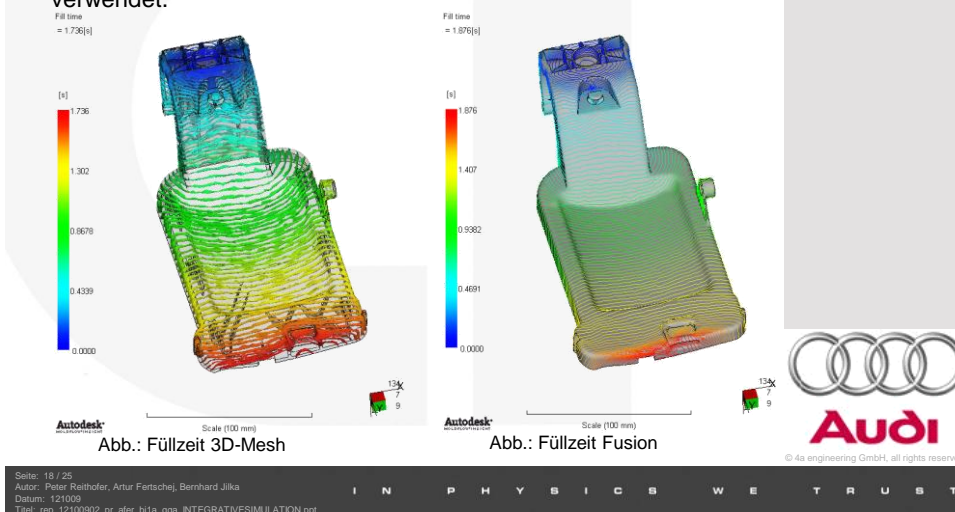
- Fusion Modell: 60.160 Elemente (12 Layer)
- 3D- Modell: 940.187 Elemente
- Mesh Density: 0.7 – 2 mm (abhängig vom Geometriebereich)
- Der Anguss wurde mit Beam- Elementen realisiert und als Heißkanal ausmodelliert.

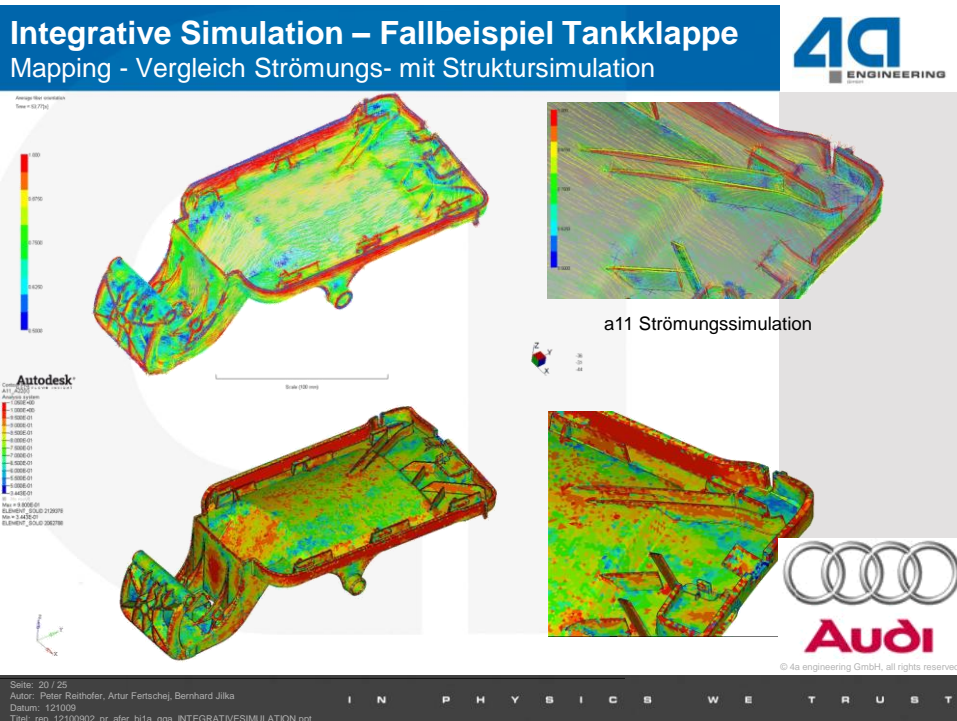
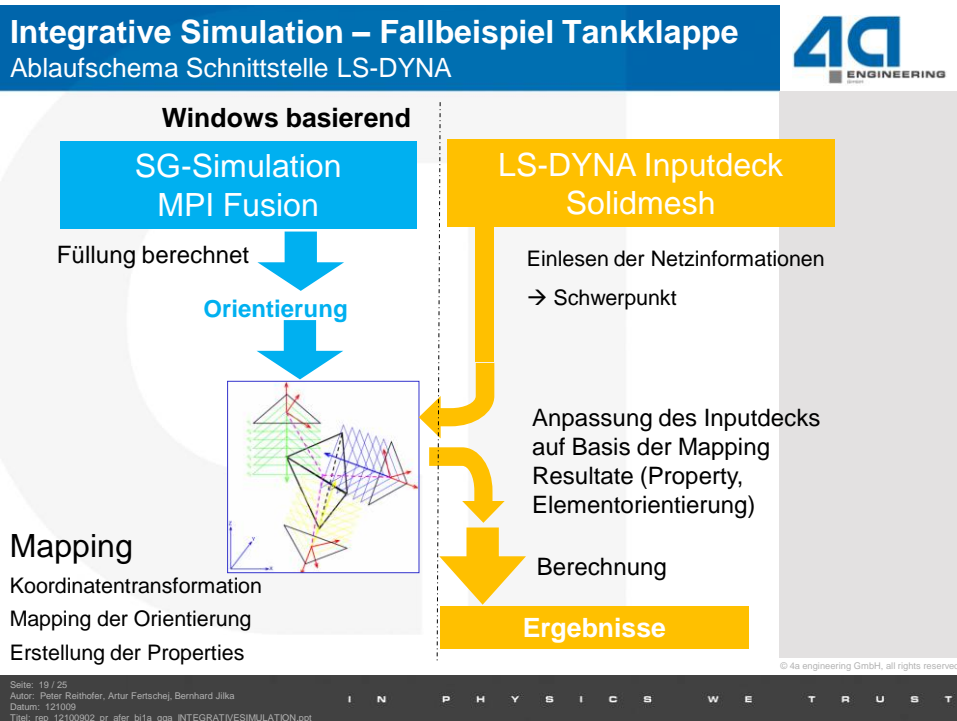


Integrative Simulation – Fallbeispiel Tankklappe Spritzgussimulation



- Die beiden Simulationen weisen nur geringe Abweichungen voneinander auf, daher wurden nur die Daten der Fusion Simulation verwendet.

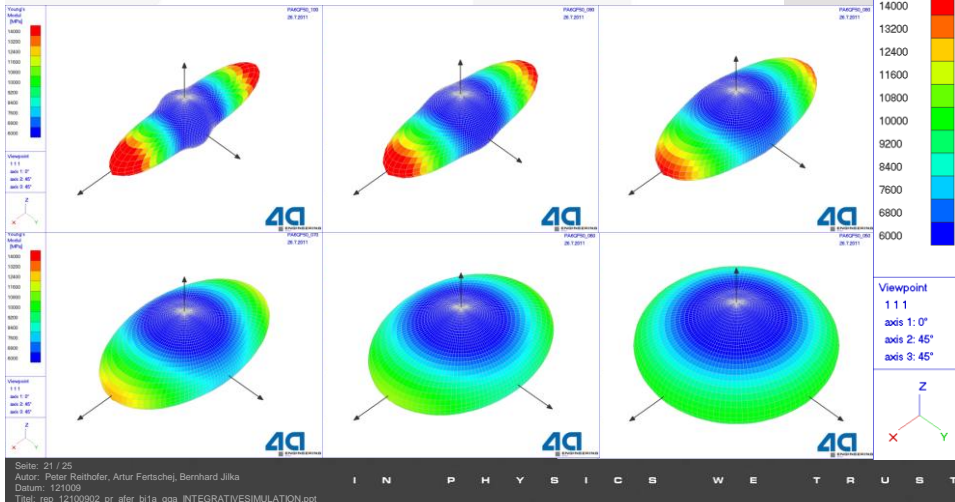




Integrative Simulation – Fallbeispiel Tankklappe orthotropes gemapptes Material



- Mittlere Faserorientierung wird analog gemappt. Neben dem 1. Eigenvektor wird der 1. Eigenwert berechnet. Mittels des 1. Eigenwertes a_{11} wird ein Material zugeordnet.

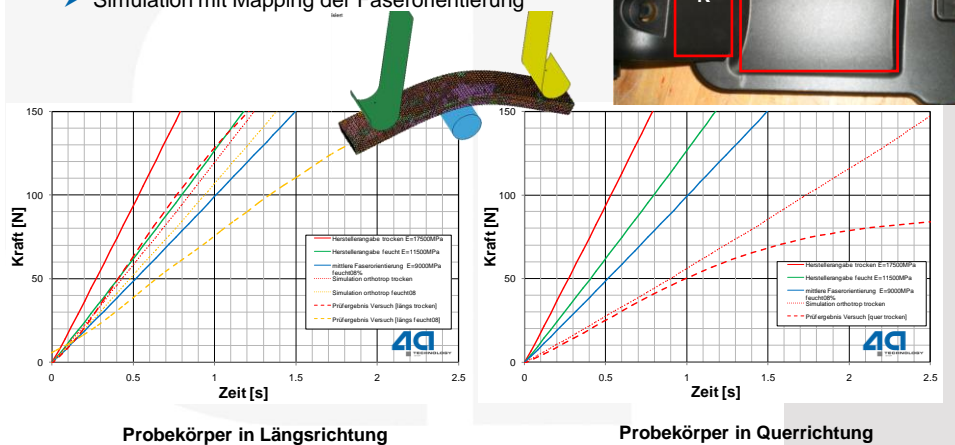
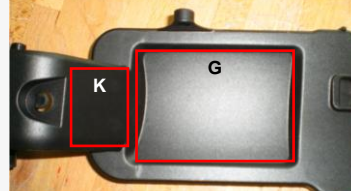


Integrative Simulation – Fallbeispiel Tankklappe Validierung 3-Punkt-Biegung (Herstellerangaben vs. Integrativ)



- Statische Biegeprüfungen an Bauteilproben
- Validierung der Biegeproben
 - Simulation isotrop
 - Simulation mit Mapping der Faserorientierung

Scharnierarm PA6 GF50



Integrative Simulation – Fallbeispiel Tankklappe

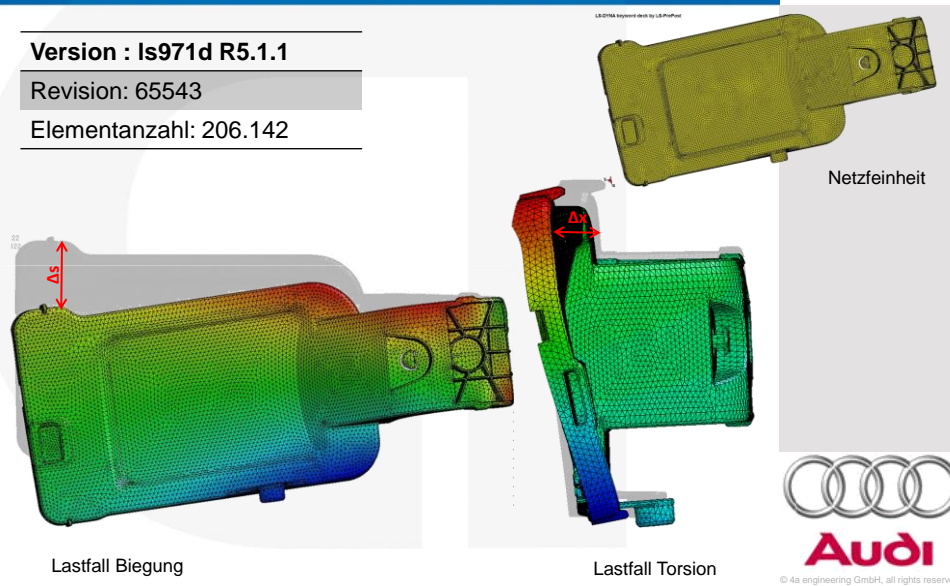
Idealisierung, Lastfälle



Version : Is971d R5.1.1

Revision: 65543

Elementanzahl: 206.142

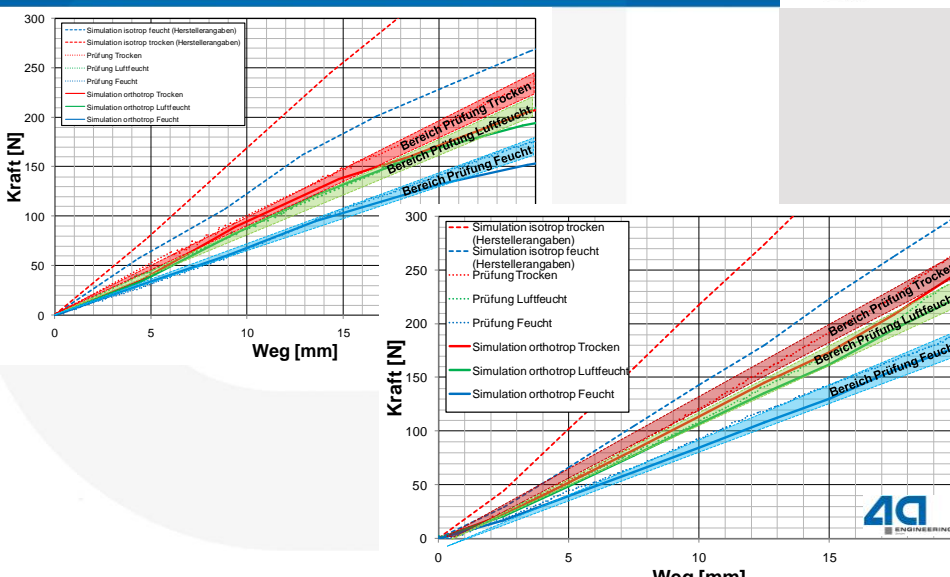


Seite: 23 / 25
 Autor: Peter Reithofer, Artur Fertschaj, Bernhard Jilka
 Datum: 121009
 Titel: rep_12100902_pr_afar_b1a_gga_INTEGRATIVESIMULATION.ppt

I N P H Y S I C S W E T R U S T

Integrative Simulation – Fallbeispiel Tankklappe

Vergleich Bauteilprüfung – Ergebnisse aus Biegesimulation



Seite: 24 / 25
 Autor: Peter Reithofer, Artur Fertschaj, Bernhard Jilka
 Datum: 121009
 Titel: rep_12100902_pr_afar_b1a_gga_INTEGRATIVESIMULATION.ppt

I N P H Y S I C S W E T R U S T

Zusammenfassung & Ausblick



➤ Ohne integrative Simulation

- Bauteilauslegung nur mit fundierter Erfahrung möglich
- Spritzgussimulation hilfreich, um Qualität der Berechnung beurteilen zu können
- Materialdaten - Extreme sollten überprüft werden

➤ Integrative Simulation

- Spritzguss simulationsprogramme bilden die Faserorientierung in der Regel gut ab, Weiterentwicklungen der Softwarehersteller (LFRT) werden hier weiter die Vorhersagegüte erhöhen.
- Die Vorhersagegüte im Bereich der Simulation kann mit Hilfe der integrativen Simulation deutlich gesteigert werden.
- Materialcharakterisierungen werden benötigt, um die Modelle sinnvoll zu schärfen.

Seite: 25 / 25
Autor: Peter Reithofer, Artur Fertschej, Bernhard Jilka
Datum: 12/10/09
Titel: rep_12102902_pr_1fer_b1a_ggs_INTEGRATIVESIMULATION.ppt

© 4a engineering GmbH, all rights reserved

I N P H Y S I C S W E T R U S T